

## РАСЧЕТ НИЗКОЭНТРОПИЙНОЙ СТРУИ, ВОЗНИКАЮЩЕЙ ПРИ ВЗАИМОДЕЙСТВИИ СКАЧКОВ ПЕРЕД ПРЕПЯТСТВИЕМ

Г. А. ШМАНЕНКОВА

(Москва)

Рассмотрены некоторые вопросы о поведении сверхзвуковой низкоэнтропийной струи газа, образующейся в области взаимодействия падающего плоского скачка уплотнения с отошедшей ударной волной перед заглушенным телом. Течение в струе и ее форма рассчитаны двухмерным методом характеристик. Предложена простая приближенная формула для радиуса кривизны оси струи, хорошо согласующаяся с результатами численных расчетов.

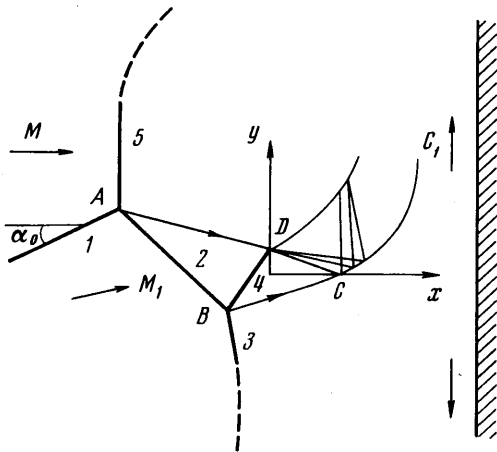
Оценка влияния поперечного растекания газа за счет трехмерности течения на форму оси струи показала, что это влияние незначительно. Указано на существование двух типов течения в области взаимодействия скачков, различных по степени воздействия на тело. Смещение струи с окружающим дозвуковым потоком не рассматривалось.

1. Рассмотрим картину течения газа в области взаимодействия отошедшей ударной волны перед цилиндром или плоской пластиной конечной ширины, расположенными поперек набегающего потока, с падающим плоским скачком уплотнения. В работах [1-4] показано, что вблизи линии растекания течение близко к плоскому и для его расчета могут быть использованы результаты теории  $\lambda$ -образных скачков уплотнения. Схема течения приведена на фиг. 1. Поток газа, прошедший через косые скачки 1, 2, 4 с малыми потерями полного давления, образует высоконапорную, низкоэнтропийную сверхзвуковую струю.

(Области течения, лежащие вниз по потоку от соответствующих скачков, в дальнейшем обозначаются номерами этих скачков, аналогичные номера имеют все параметры, характеризующие течение в этих областях.) Сверхзвуковая струя 4 отделена от дозвуковых областей 3 и 5 с низкими значениями полного давления тангенциальными разрывами, начинающимися в узловых точках  $A$  и  $B$   $\lambda$ -скачков. Статическое давление в потоке 4 равно статическому давлению в области 3. Давление в области 5 значительно меньше давления в области 3. Вниз по потоку от скачка 4 сверхзвуковая струя проходит через систему волн разрежения и сжатия, которая приводит к искривлению ее границ. Искривленная под действием перепада давлений сверхзвуковая струя 4 либо достигает поверхности тела (первый тип течения), либо нет (второй тип течения). Первый тип течения характеризуется интенсивным воздействием низкоэнтропийной струи на тело [2, 3].

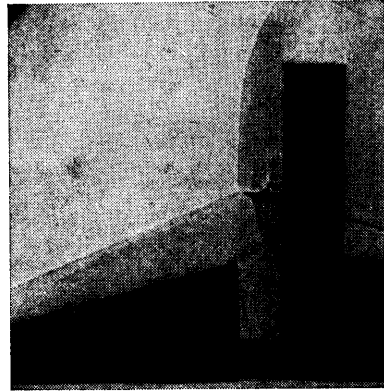
В случае течения второго типа вдоль поверхности передней кромки наблюдается претекание газа из области 3 с более высоким давлением в область 5. Тепловоская фотография такого типа течения показана на фиг. 2. Силовое и тепловое воздействие потока на тело существенно различно в первом и во втором случаях. Так, например, при  $M=5$ ,  $\alpha_0=30^\circ$  максимальное давление на теле для течения первого типа в 2 раза выше максимального давления для течения второго типа.

2. Расчет параметров плоской сверхзвуковой неизэнтропической струи совершенного газа проводился методом характеристик. Система координат  $x, y$  выбрана, как показано на фиг. 1. Все линейные размеры отнесены к ширине струи. Система уравнений, содержащая уравнения характеристик, условия на них и метод решения подробно изложены в работе [5]. Вследствие криволинейности внешней границы  $CC_1$  в струе возникают «висячие» скачки. Расчет точек «висячего» скачка проводился согласно [6]. Рассчитаны следующие варианты:  $M=5, 7, 10$ ;  $\alpha_0=15^\circ, 35^\circ$ ;  $\gamma=1.4$ . Параметры газа в областях 3, 4, 5 определялись по методу работы [2]. Для каждого варианта расчет проводился до тех пор, пока ось струи становилась параллельной поверхности тела ( $\text{ctg } \theta < 0.001$ ). В процессе счета определялись координаты точек



Фиг. 1

внешней и внутренней границ струи и параметры газа в нескольких сечениях  $x = \text{const}$ . На фиг. 3 приведена форма и положение границы струи, рассчитанные при условии, что перепад давления вдоль оси струи постоянен и равен  $p_3/p_5$ . Сплошные кривые — расчет при  $M=10$ , пунктирные — при  $M=7$ , штрихпунктирные — при  $M=5$  ( $1 - \alpha_0 = 15^\circ$ ,  $2 - \alpha_0 = 20^\circ$ ,  $3 - \alpha_0 = 35^\circ$ ). Как видно, при увеличении интенсивности падающего скачка радиус кривизны оси струи быстро уменьшается.



Фиг. 2

Изменение числа Маха при постоянном  $\alpha_0$  влияет на положение струи незначительно. Важными характеристиками низкоскоростной струи являются координаты точки внешней границы  $(x_1, y_1)$ , в которой  $\text{ctg } \phi \approx 0$ , т. е. струя становится параллельной поверхности тела. Координата  $x_1$  фактически характеризует «дальнобойность» струйки. Координата  $y_1$  — положение звукового сечения для второго типа течения, когда перепад давлений в областях 3 и 5 равен звуковому или превышает его. На фиг. 4 показана зависимость  $x_1$  и  $y_1$  от  $\alpha_0$  и  $M$  (темные точки —  $M=10$ , светлые —  $M=7$ , треугольники —  $M=5$ ). Из графиков видно, что величины  $x_1, y_1$  слабо зависят от  $M$ , в то же время влияние  $\alpha_0$  существенно.

В течении второго типа, в действительности, давление вдоль внешней границы струи не постоянно. Оно уменьшается от давления  $p_3$  до некоторого меньшего давления в сечении  $y = y_1$ .

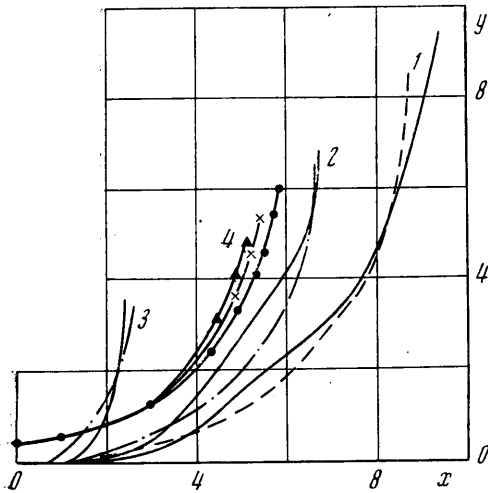
С целью выяснения влияния переменнойности давления на течение газа в струе были проведены соответствующие расчеты. Распределение давления на внешней границе струи  $CC_1$  задавалось экспериментальной зависимостью

$$(2.1) \quad p/p_3 = 1 - 0.47(y/y_1)^2$$

На фиг. 4 пунктирные линии изображают зависимость координат  $x_1, y_1$  от  $\alpha_0$  для  $M=5$  при переменном давлении на границе  $CC_1$ . Из этой фигуры видно, что переменность давления практически не влияет на значения  $x_1$ , а изменение  $y_1$  довольно значительно.

3. Для радиуса кривизны осевой линии низкоскоростной струи может быть получено приближенное выражение. Уравнение неразрывности и уравнения движения плоской криволинейной газовой струйки в проекции на касательную и нормаль к траектории имеют вид

$$(3.1) \quad \begin{aligned} \frac{\partial(\rho v \delta)}{\partial s} &= 0, \\ \rho v \frac{\partial v}{\partial s} + \frac{\partial p}{\partial s} &= 0, \\ \frac{\rho v^2}{R_0} &= \frac{\partial p}{\partial n} \end{aligned}$$



Фиг. 3

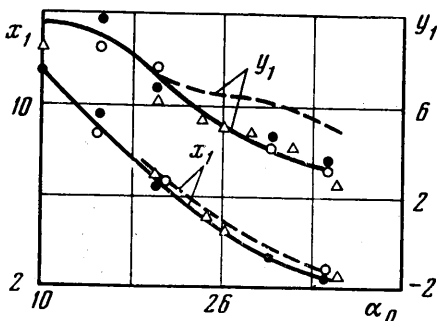
где  $R_0$  — радиус кривизны оси струи в данном сечении. Полагая

$$\frac{\partial p}{\partial s} = 0, \quad \rho = \text{const}, \quad \frac{\partial p}{\partial n} = \frac{(p_3 - p_5)}{\delta}$$

получим для  $R_0$  простое выражение

$$(3.2) \quad R_0 = \gamma M_4^2 [1 - p_5/p_3]^{-1}$$

Таким образом, в указанных предположениях осевая линия низкоэнтропийной струи близка к окружности радиуса  $R_0$ , центр которой лежит на перпендикуляре, возведенном из точки  $D$  к направлению потока  $A$ . В таком случае внешняя граница низкоэнтропийной струи должна быть близка к окружности радиуса  $(R_0+0.5)$ . Уравнение этой окружности запишем в виде



Фиг. 4

$\alpha_0=30^\circ$ ; 3 -  $M=5$ ,  $\alpha_0=35^\circ$ ; 4 -  $M=7$ ,  $\alpha_0=15^\circ$ ; 5 -  $M=7$ ,  $\alpha_0=20^\circ$ ; 6 -  $M=7$ ,  $\alpha_0=30^\circ$ ; 7 -  $M=7$ ,  $\alpha_0=35^\circ$ ; 8 -  $M=10$ ,  $\alpha_0=15^\circ$ ; 9 -  $M=10$ ,  $\alpha_0=20^\circ$ ; 10 -  $M=10$ ,  $\alpha_0=30^\circ$ ; 11 -  $M=10$ ,  $\alpha_0=35^\circ$ .

Видно, что кривые, существенно различающиеся в координатах  $x, y$ , в координатах  $\xi, \eta$  собираются в очень узкую полосу. Отсюда можно заключить, что приближенное соотношение (3.2) для радиуса кривизны осевой линии низкоэнтропийной струи достаточно хорошо согласуется с результатами численных расчетов.

4. Проведем оценку влияния поперечного растекания газа в низкоэнтропийной струе вследствие трехмерности течения на форму ее оси. В этом случае уравнение неразрывности принимает вид

$$(3.6) \quad \frac{\partial}{\partial s}(\rho v \delta) + \rho \delta \frac{\partial w}{\partial z} = 0$$

Величина  $\partial w / \partial z$  характеризует градиент скорости струи в плоскости, перпендикулярной плоскости растекания. Из уравнения (3.6) получаем выражение для ширины струйки

$$(3.7) \quad \delta = e^{-\beta s}, \quad \beta = v^{-1} \partial w / \partial z$$

С учетом (3.7) соотношение (3.2) для радиуса кривизны оси струи примет вид

$$(3.8) \quad R = R_0 e^{-\beta s}$$

Кроме того, имеем

$$(3.9) \quad R = (1 + y'^2)^{3/2} (y'')^{-1}, \quad ds = \sqrt{1 + y'^2} dx$$

Соотношения (3.8), (3.9) позволяют рассчитать форму оси низкоэнтропийной струи в выбранных координатах  $(x, y)$ . Для проведения количественных расчетов предположим, что поперечный градиент скорости струи  $\beta$  равен соответствующему градиенту скорости  $v^{-1} \partial w / \partial z$  на поверхности преграды в области 3. На фиг. 3 цифрой 4 обозначена расчетная ось струи при  $M=6$ ,  $\alpha_0=20^\circ$  без учета растекания ( $\beta=0$ ) — сплошная кривая с темными точками; с учетом растекания для плоской передней кромки — крестики; для преграды с цилиндрической передней кромкой — треугольники.

Видно, что поперечное растекание практически не влияет на «дальность» струи. Значения  $x_1$  при разных  $\beta$  отличаются не более чем на ~10%.

Таким образом, при построении приближенных методик расчета течения в области взаимодействия скачков для расчета траектории низкоэнтропийной струи с достаточной точностью может быть использовано соотношение (3.2).

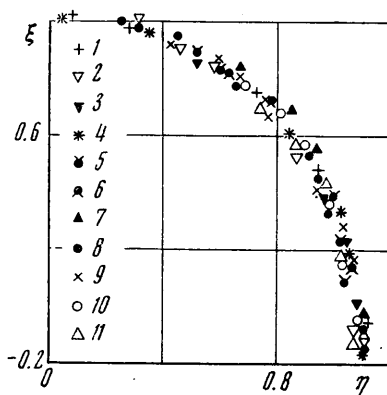
Автор благодарит В. В. Лулева и Б. А. Землянского за ценные советы и постоянное внимание к работе.

$$(3.3) \quad \xi^2 + \eta^2 = 1$$

$$(3.4) \quad \xi = \{ \sin \alpha_1 [ \operatorname{ctg} \alpha_1 (R_0 + 0.5) - \sqrt{M_0^2 - 1} ] - y \} (R_0 + 0.5)^{-1}$$

$$(3.5) \quad \eta = [ x + (R_0 - 0.5) \sin \alpha_1 ] (R_0 + 0.5)^{-1}$$

На фиг. 5 внешняя граница низкоэнтропийной струи 4, приведенная на фиг. 3 для различных  $M$  и  $\alpha_0$ , построена в координатах  $\xi, \eta$  (1 -  $M=5$ ,  $\alpha_0=20^\circ$ ; 2 -  $M=5$ ,



Фиг. 5

## ЛИТЕРАТУРА

1. Таганов Г. И. Энтропийные эффекты в гиперзвуковых течениях газа. Аннот. докл. 2-го Всес. съезда по механ., 1964.
2. Тетерин М. П. Исследование течения газа в области падения скачка уплотнения на цилиндр, обтекаемый потоком большой скорости. Изв. АН СССР, МЖГ, 1972, № 2.
3. Тетерин М. П. Исследование течения газа и теплопередачи в области падения скачка уплотнения на цилиндр, обтекаемый потоком большой сверхзвуковой скорости. Изв. АН СССР, МЖГ, 1967, № 3.
4. Edney B. Anomalous heat transfer and pressure distributions on blunt bodies at hypersonic speeds in the presence of an impinging shock. K. T. H.—Avhandling, 1968, No. 239.
5. Кацкова О. Н., Наумова И. Н., Шмыглевский Ю. Д., Шулишина Н. П. Опыт расчета плоских и осесимметричных сверхзвуковых течений газа методом характеристик. М., ВЦ АН СССР, 1961.
6. Wang C. J., Peterson J. B. Spreading of supersonic jets from axially symmetric nozzles. Jet Propulsion, 1958, vol. 28, No. 5.

УДК 538.4

НЕКОТОРЫЕ АВТОМОДЕЛЬНЫЕ РЕШЕНИЯ УРАВНЕНИЙ  
ЭЛЕКТРОГИДРОДИНАМИКИ

В. И. ГРАБОВСКИЙ

(Москва)

При помощи инспекционного анализа системы уравнений электрогидродинамики найдены некоторые автомодельные решения для нестационарного одномерного течения.

В реальных электрогидродинамических устройствах наблюдаются нестационарные процессы, например, при перестройке течения от одного стационарного режима к другому.

Для понимания сущности таких процессов, так же как и в обычной гидродинамике, большую роль приобретает исследование автомодельных решений. Все существенно различные такие решения могут быть получены исследованием групповых свойств системы уравнений электрогидродинамики при помощи вычисления ее основной группы [1]. Разыскивая группы преобразований определенного типа, можно получить некоторые автомодельные решения без вычисления основной группы [2]. В данной работе определяются автомодельные решения, соответствующие группе преобразований растяжения.

1. Система уравнений в случае одномерного нестационарного течения несжимаемой униполярно заряженной жидкости в безразмерных переменных имеет вид

$$(1.1) \quad \begin{aligned} \frac{\partial u}{\partial t} + u \frac{\partial u}{\partial x} &= - \frac{\partial p}{\partial x} - S q \frac{\partial \varphi}{\partial x}, & \frac{\partial u}{\partial x} &= 0 \\ \frac{\partial^2 \varphi}{\partial x^2} &= -q & \frac{\partial q}{\partial t} + \frac{\partial}{\partial x} i &= 0, & i &= q \left( u - \frac{\partial \varphi}{\partial x} \right) \end{aligned}$$

Здесь  $t$  — безразмерное время,  $x$  — продольная координата,  $u$  — продольная компонента скорости,  $p$  — гидродинамическое давление,  $q$  — плотность заряженных частиц,  $\varphi$  — электрический потенциал,  $j$  — продольная компонента плотности электрического тока, отнесенные соответственно к характерным комплексам (обозначения общепринятые)  $x_*/v_*$ ,  $x_*$ ,  $v_*$ ,  $\rho v_*^2$ ,  $e v_*^2 / (4\pi b x_*)$ ,  $v_* x_* / b$ ,  $e v_*^2 / (4\pi b x_*)$ ,  $S = e / (4\pi \rho b^2)$ .

Для системы (1.1) легко найти группу преобразований растяжения, относительно которой система будет инвариантна

$$(1.2) \quad \begin{aligned} x &= \alpha x^\circ, & t &= \tau t^\circ, & \varphi &= \alpha^2 \tau^{-1} \varphi^\circ, & q &= \tau^{-1} q^\circ \\ u &= \alpha \tau^{-1} u^\circ, & p &= \alpha^2 \tau^{-2} p^\circ, & \rho &= \rho^\circ \end{aligned}$$

( $\alpha, \tau = \text{const}$ ,  $\alpha$  градус обозначает любые функции, удовлетворяющие (1.1)).